



Laboratorium EMVO Sp. J. Urbański, Pawelak
ul. Jasna 1
00-013 Warszawa

tel. +48 22 780 29 64
e-mail: laboratorium@emvo.pl



AB 1630

Sprawozdanie z pomiarów pól elektromagnetycznych - środowisko nr 14/10/OŚ/2023– P4-W



Nr i nazwa stacji	WAR1449C
Adres	Warszawa, Lasek Brzozowy 12, dz. nr 18/20, pow. Warszawa, woj. mazowieckie
Opracowanie	Specjalista ds. pomiarów
Autoryzacja	Kierownik Laboratorium
Podpis	Signature Not Verified Dokument podpisany Data: 2023.10.10 15:00:24 CEST Powód: Zatwierdzam dokument
Data	2023-10-06

Spis treści

1. Informacje ogólne.	3
2. Podstawa prawna.	3
3. Opis pomiarów	3
4. Zróżnicowanie dopuszczalne poziomy pól elektromagnetycznych.	5
5. Charakterystyka źródeł PEM.	6
6. Wyniki pomiarów.	6
7. Stwierdzenie zgodności	6
8. Oświadczenie.	9
9. Spis załączników.	9

1. Informacje ogólne.

Zleceniodawca	P4 sp. z o.o., ul. Wynałazek 1, 02-677 Warszawa
Istotne informacje dostarczone przez klienta	komplet informacji niezbędnych do wykonania pomiarów i opracowania sprawozdania
Dane otrzymane od klienta mogące mieć wpływ na ważność wyników	Dane anten sektorowych, dane anten radioliniowych, parametry pracy instalacji, ustawienie pochylenia anten
Prowadzący instalację	P4 sp. z o.o., ul. Wynałazek 1, 02-677 Warszawa
Lokalizacja obiektu	Warszawa, Lasek Brzozowy 12, dz. nr 18/20, pow. Warszawa, woj. mazowieckie
Miejsce instalacji anten	Dach budynku
Miejsce instalacji urządzeń	Outdoor
Osoby wykonujące pomiar	
Data wykonania pomiaru	06.10.2023
Temperatura na początku pomiaru [°C]	13,5
Temperatura na koniec pomiaru [°C]	15,0
Warunki atmosferyczne	Brak opadów
Wilgotność na początku pomiaru [%]	62,0
Wilgotność na koniec pomiaru [%]	60,0
Godzina na początku pomiaru	12:01
Godzina na koniec pomiaru	14:37
Inne źródła pól elektromagnetycznych oznaczone na załączniku graficznym	Występują
Parametry pracy instalacji	Tryb eksploatacyjny

2. Podstawa prawna.

2.1 Normy i rozporządzenia:

- Obwieszczenie Ministra Klimatu i Środowiska z dnia 21 listopada 2022 r. w sprawie ogłoszenia jednolitego tekstu rozporządzenia Ministra Klimatu w sprawie sposobów sprawdzania dotrzymania dopuszczalnych poziomów pól elektromagnetycznych w środowisku (Dz.U. 2022 poz. 2630)
- Rozporządzenie Ministra Zdrowia z dnia 17 grudnia 2019 r. w sprawie dopuszczalnych poziomów pól elektromagnetycznych w środowisku (Dz.U. 2019 poz. 2448)
- Obwieszczenie Marszałka Sejmu Rzeczypospolitej Polskiej z dnia 1 grudnia 2022 r. w sprawie ogłoszenia jednolitego tekstu ustawy - Prawo ochrony środowiska (Dz.U. 2022 poz. 2556).

3. Opis pomiarów

Metodologia pomiarowa	Pomiary w oparciu o Rozporządzenie Ministra Klimatu z dnia 17 lutego 2020 r. w sprawie sposobów sprawdzania dotrzymania dopuszczalnych poziomów pól elektromagnetycznych w środowisku (Dz.U. 2022 poz. 2630).
Cel badań	Określenie wartości natężenia pola elektrycznego w miejscach dostępnych dla ludności.
Opis zestawu pomiarowego	Miernik Narda NBM 520, Sonda EF 9091, o zakresie pomiarowym 0,7 V/m - 300V/m pracująca w paśmie 0,1 – 90 GHz, świadectwo wydane przez Laboratorium Wzorców i Metrologii Pola Elektromagnetycznego, Instytut Telekomunikacji, Teleinformatyki i Akustyki Politechniki Wrocławskiej. Świadectwo ważne do 27.06.2025, numer świadectwa: LWIMP/W/265/23. Miernik Narda NBM 520, Sonda EF 9091 pracująca w zakresie temperatury -10°C - +50°C oraz wilgotności 5% - 95%. Niepewność rozszerzona wynosi 55,2% przy poziomie ufności 95% z uwzględnieniem współczynnika rozszerzenia k=2.
Wyposażenie pomocnicze	Termohigrometr Termoprodukt, typ: Termik+, Nr. inwentarzowy 37/WL, nr identyfikacyjny 700618, świadectwo wzorcowania nr 1763/AH/19 z dn. 29.07.2019 r. wydane przez Laboratorium Pomiarowe "MUTECH". Przymiar wstępowy STABILA, Nr. inwentarzowy 36/WL, nr identyfikacyjny 31WL, świadectwo wzorcowania nr 6W1/1826/19 z dn. 02.08.2019 r. wydane przez Dyrektora Okręgowego Urzędu Miar w Gdańsku. GPS Garmin 64s okresowo sprawdzany w punktach osnowy geodezyjnej klasy 3 na podstawie licencji punktu, zgodnie z procedurą sprawdzeń okresowych IS/PO16-11/03.
Pomiary zostały wykonane	<ol style="list-style-type: none">1. na głównych i pomocniczych kierunkach pomiarowych, na kierunkach zbliżonych do azymutów anten oraz w dodatkowych pionach pomiarowych zgodnie z wymaganiami pkt 12, 13, 14 i 19 Rozporządzenia Ministra Klimatu z dnia 17 lutego 2020 r. (Dz.U. 2022 poz. 2630). Wybór i lokalizacja pionów pomiarowych, w tym znajdujących się wewnątrz lokali, zostały ustalone zgodnie z procedurą laboratorium nr PP-7.3/7.4/7.5-11, z uwzględnieniem: rodzaju badanej instalacji (w tym parametrów technicznych instalacji), lokalizacji badanej instalacji, ukształtowania terenu wokół badanej instalacji.2. na obszarze pomiarowym, dla którego, na podstawie uprzednio przeprowadzonych obliczeń stwierdzono w miejscach dostępnych dla ludności występowanie pól elektromagnetycznych o najwyższym poziomie, które pochodzą z badanej instalacji zgodnie z wymaganiami pkt 5 ppkt 2 oraz pkt 13 ppkt 1 Rozporządzenia Ministra Klimatu z dnia 17 lutego 2020 r. w sprawie sposobów sprawdzania dotrzymania dopuszczalnych poziomów pól elektromagnetycznych w środowisku (Dz.U. 2022 poz. 2630). Wyniki obliczeń nie uwzględniały parametrów pracy instalacji innych operatorów występujących na obiekcie bądź w obszarze pomiarowym.3. w miejscach dostępnych dla ludności.4. miejsca niedostępne podczas wykonywania pomiarów wskazane zostały w pkt 6 (tabeli wyniki pomiarów)5. w dodatkowych pionach pomiarowych w lokalach oraz na balkonach i tarasach, na których mogą przebywać ludzie, po poinformowaniu o planowanych pomiarach z minimum 3-dniowym wyprzedzeniem i po umożliwieniu dostępu do lokalu, balkonu lub tarasu przez jego dysponenta lub bez zachowania terminu wskazanego w pierwszej części

zdania za zgodą dysponenta przestrzeni pomiarowej.

Sposób powiadamiania dysponentów

Zgodnie z pkt 14 Rozporządzenia Ministra Klimatu z dnia 17 lutego 2020 r. w sprawie sposobów sprawdzania dotrzymania dopuszczalnych poziomów pól elektromagnetycznych w środowisku (Dz.U. 2022 poz. 2630). poinformowano dysponentów lokali o planowanych pomiarach.

Informacji dokonano między innymi poprzez:

1. bloki mieszkalne – zawiadomienie spółdzielni mieszkaniowej, zarządcy nieruchomości, zarządu wspólnoty, umieszczenie informacji o planowanych pomiarach na tablicach ogłoszeń w klatkach schodowych bloków lub na drzwiach wejściowych,
2. biurowce, budynki użyteczności publicznej itp. - przekazanie zawiadomienia do administracji lub recepcji obiektu,
3. domy jednorodzinne, szeregowce itp.- pozostawienie informacji w skrynkach pocztowych itp. lub przekazanie osobiste.

Warunki pracy urządzeń nadawczych

Tryb pracy eksploatacyjny.

4. Zróżnicowanie dopuszczalne poziomy pól elektromagnetycznych.

Zakresy znajdują się w Dzienniku Ustaw z dnia 17 grudnia 2019 r. przedstawione są w tabeli nr 2 (Dz. U. z 2019r. poz. 2448).

Parametr fizyczny	Składowa elektryczna E (V/m)	Składowa magnetyczna H (A/m)	Gęstość mocy S (W/m ²)
Zakres Częstotliwości pola elektromagnetycznego			
od 400 MHz do 2000 MHz	$1,375 \times f^{0,5}$	$0,0037 \times f^{0,5}$	$f / 200$
od 2 GHz do 300 GHz	61	0,16	10

5. Charakterystyka źródeł PEM.

Zgodnie z informacją otrzymaną od Klienta pomiary zostały wykonane przy ustawieniach pochylenia anten zgodnych z pkt. 13, ppkt 2 Rozporządzenia Ministra Klimatu z dnia 17 lutego 2020 roku.

Tabela 1. Anteny sektorowe - dane otrzymane od klienta

Charakterystyka promieniowania		kierunkowa														
Rzeczywisty czas pracy [h/dobę]		24														
Rodzaj wytwarzanego pola		stacjonarne														
Lp	Wyszczególnienie	sektor 1					sektor 2					sektor 3				
I Nadajnik stacji bazowej:																
1	Typ / Producent	DBS / SRAN Huawei														
2	Częstotliwość (pasmo) MHz	2600	800	2100	1800	900	2600	800	2100	1800	900	2600	800	2100	1800	900
3	Maksymalna moc nadawana na sektor [dBm]	52,04	49,03	52,04	52,04	46,02	52,04	49,03	52,04	52,04	46,02	52,04	49,03	52,04	52,04	46,02
II Obciążenie:																
1	Typ anteny	Huawei ATR4518R6		Huawei ATR4518R6			Huawei ATR4518R6		Huawei ATR4518R6			Huawei ATR4518R6		Huawei ATR4518R6		
2	Producent anteny	Huawei		Huawei			Huawei		Huawei			Huawei		Huawei		
3	Nazwa anteny	11_H V	11_H V	12_GH LNT	12_GH LNT	12_GH LNT	21_H V	21_H V	22_GH LNT	22_GH LNT	22_GH LNT	31_H V	31_H V	32_GH LNT	32_GH LNT	32_GH LNT
4	Ilość anten	1		1			1		1			1		1		
5	Azymut	0					98					260				
6	Zakres kątów pochylenia anten [°]	0,00-10,00					0,00-10,00					0,00-10,00				
7	Wysokość zainst. n.p.t. [m]	40,80					40,80					40,80				
8	EIRP [W]	15005		20903			15005		20903			15005		20903		

Tabela 2. Anteny radioliniowe- dane otrzymane od klienta

Charakterystyka promieniowania		kierunkowa					
Rzeczywisty czas pracy [h/dobę]		24					
Rodzaj wytwarzanego pola		stacjonarne					
Lp	Linia radiowa			Antena			
	typ/producent	częstotliwość pracy [GHz]	moc wyjściowa [dBm]	typ/producent	średnica anteny [m]	azymut [°]	wysokość zainstal. [m]
1	MINI-LINK/ERICSSON	80	18	ANT2 B 0.3 80 HP/ericsson	0,3	324	40,30

6. Wyniki pomiarów.

Wyniki pomiarów pól elektromagnetycznych dla celów ochrony środowiska przedstawia poniższa tabela. Piony pomiarowe zostały przedstawione w zał. 2.

Nr PP	Pole-E [V/m]	Pole-E, +U [V/m]	Pole-H [A/m]	Pole-H +U [A/m]	Wys. pomiaru [m]	Opis pionu	Uwagi	WM _E	WM _H
1	1,2	1,86	0,003	0,005	0,3-2,0	N:52°08'39.0" E:21°03'42.9"	otoczenie stacji bazowej - 50m wzdłuż gł. osi promieniowania - GKP	0,067	0,068
2	1,3	2,02	0,003	0,005	0,3-2,0	N:52°08'40.6" E:21°03'43.1"	otoczenie stacji bazowej - 100m wzdłuż gł. osi promieniowania - GKP	0,072	0,073
3	0,9	1,40	0,002	0,004	0,3-2,0	N:52°08'42.4" E:21°03'42.9"	otoczenie stacji bazowej - 150m wzdłuż gł. osi promieniowania - GKP	0,050	0,051
4	1,2	1,86	0,003	0,005	0,3-2,0	N:52°08'45.5" E:21°03'43.2"	otoczenie stacji bazowej - 250m wzdłuż gł. osi promieniowania - GKP	0,067	0,068
5	1,3	2,02	0,003	0,005	0,3-2,0	N:52°08'47.1" E:21°03'43.4"	otoczenie stacji bazowej - 300m wzdłuż gł. osi promieniowania - GKP	0,072	0,073

„Bez pisemnej zgody Laboratorium niniejsze sprawozdanie nie może być powielane inaczej, jak tylko w całości. Ponadto wyniki dotyczą tylko badanych obiektów przywołanych w niniejszym sprawozdaniu z badań”

6	0,9	1,40	0,002	0,004	0,3-2,0	N:52°08'50.6" E:21°03'43.4"	otoczenie stacji bazowej - 410m wzdłuż gł. osi promieniowania - GKP	0,050	0,051
7	1,4	2,17	0,004	0,006	0,3-2,0	N:52°08'36.3" E:21°03'45.9"	otoczenie stacji bazowej - 50m wzdłuż gł. osi promieniowania - GKP	0,078	0,079
8	1,3	2,02	0,003	0,005	0,3-2,0	N:52°08'36.1" E:21°03'48.4"	otoczenie stacji bazowej - 100m wzdłuż gł. osi promieniowania - GKP	0,072	0,073
9	1,2	1,86	0,003	0,005	0,3-2,0	N:52°08'35.8" E:21°03'51.4"	otoczenie stacji bazowej - 150m wzdłuż gł. osi promieniowania - GKP	0,067	0,068
10	1,1	1,71	0,003	0,005	0,3-2,0	N:52°08'35.6" E:21°03'53.8"	otoczenie stacji bazowej - 200m wzdłuż gł. osi promieniowania - GKP	0,061	0,062
11	0,9	1,40	0,002	0,004	0,3-2,0	N:52°08'35.3" E:21°03'56.3"	otoczenie stacji bazowej - 250m wzdłuż gł. osi promieniowania - GKP	0,050	0,051
12	1,0	1,55	0,003	0,004	0,3-2,0	N:52°08'35.1" E:21°03'58.8"	otoczenie stacji bazowej - 300m wzdłuż gł. osi promieniowania - GKP	0,055	0,056
13	1,0	1,55	0,003	0,004	0,3-2,0	N:52°08'34.8" E:21°04'01.6"	otoczenie stacji bazowej - 350m wzdłuż gł. osi promieniowania - GKP	0,055	0,056
14	1,1	1,71	0,003	0,005	0,3-2,0	N:52°08'34.4" E:21°04'04.4"	otoczenie stacji bazowej - 410m wzdłuż gł. osi promieniowania - GKP	0,061	0,062
15	1,3	2,02	0,003	0,005	0,3-2,0	N:52°08'36.3" E:21°03'39.9"	otoczenie stacji bazowej - 50m wzdłuż gł. osi promieniowania - GKP	0,072	0,073
16	1,0	1,55	0,003	0,004	0,3-2,0	N:52°08'36.2" E:21°03'37.2"	otoczenie stacji bazowej - 100m wzdłuż gł. osi promieniowania - GKP	0,055	0,056
17	1,3	2,02	0,003	0,005	0,3-2,0	N:52°08'35.9" E:21°03'34.6"	otoczenie stacji bazowej - 150m wzdłuż gł. osi promieniowania - GKP	0,072	0,073
18	1,4	2,17	0,004	0,006	0,3-2,0	N:52°08'35.6" E:21°03'31.8"	otoczenie stacji bazowej - 200m wzdłuż gł. osi promieniowania - GKP	0,078	0,079
19	1,2	1,86	0,003	0,005	0,3-2,0	N:52°08'35.3" E:21°03'29.6"	otoczenie stacji bazowej - 250m wzdłuż gł. osi promieniowania - GKP	0,067	0,068
20	1,0	1,55	0,003	0,004	0,3-2,0	N:52°08'35.0" E:21°03'24.5"	otoczenie stacji bazowej - 350m wzdłuż gł. osi promieniowania - GKP	0,055	0,056
21	0,9	1,40	0,002	0,004	0,3-2,0	N:52°08'34.7" E:21°03'20.9"	otoczenie stacji bazowej - 410m wzdłuż gł. osi promieniowania - GKP	0,050	0,051
22	1,2	1,86	0,003	0,005	0,3-2,0	N:52°08'37.8" E:21°03'40.6"	otoczenie stacji bazowej - 50m wzdłuż gł. osi promieniowania - GKP	0,067	0,068
23	1,1	1,71	0,003	0,005	0,3-2,0	N:52°08'39.5" E:21°03'40.8"	otoczenie stacji bazowej - GKP	0,061	0,062
24	1,0	1,55	0,003	0,004	0,3-2,0	N:52°08'39.4" E:21°03'45.2"	otoczenie stacji bazowej - GKP	0,055	0,056
25	1,1	1,71	0,003	0,005	0,3-2,0	N:52°08'37.9" E:21°03'46.1"	otoczenie stacji bazowej - GKP	0,061	0,062
26	1,2	1,86	0,003	0,005	0,3-2,0	N:52°08'35.4" E:21°03'45.3"	otoczenie stacji bazowej - GKP	0,067	0,068
27	1,1	1,71	0,003	0,005	0,3-2,0	N:52°08'35.4" E:21°03'43.4"	otoczenie stacji bazowej - GKP	0,061	0,062
28	1,2	1,86	0,003	0,005	0,3-2,0	N:52°08'35.7" E:21°03'39.9"	otoczenie stacji bazowej - GKP	0,067	0,068
29	1,0	1,55	0,003	0,004	0,3-2,0	N:52°08'37.5" E:21°03'38.6"	otoczenie stacji bazowej - GKP	0,055	0,056
A	0,8	1,24	0,002	0,003	0,3-2,0	N:52°08'36.9" E:21°03'42.2"	Lasek Brzozowy 12, pomiar w otworze okiennym, piętro 10, klatka -DPP	0,044	0,045
	0,8	1,24	0,002	0,003	0,3-2,0		Lasek Brzozowy 12, pomiar w otworze okiennym, piętro 9, klatka - DPP	0,044	0,045
	0,7*	1,24	0,002	0,003	0,3-2,0		Lasek Brzozowy 12, pomiar w otworze okiennym, piętro 8, klatka - DPP	0,044	0,045
B	0,9	1,40	0,002	0,004	0,3-2,0	N:52°08'38.4" E:21°03'43.6"	Mandarynki 4, pomiar w otworze okiennym, piętro 4 -DPP	0,050	0,051
	0,8	1,24	0,002	0,003	0,3-2,0		Mandarynki 4, pomiar w otworze okiennym, piętro 3 -DPP	0,044	0,045
C	0,9	1,40	0,002	0,004	0,3-2,0	N:52°08'40.9" E:21°03'42.7"	Mandarynki 8, pomiar w otworze okiennym, piętro 4 -DPP	0,050	0,051
	0,8	1,24	0,002	0,003	0,3-2,0		Mandarynki 8, pomiar w otworze okiennym, piętro 3 -DPP	0,044	0,045

D	0,9	1,40	0,002	0,004	0,3-2,0	N:52°08'43.1" E:21°03'43.7"	Mandarynki 10, pomiar w otworze okiennym, piętro 4 -DPP	0,050	0,051
	1,0	1,55	0,003	0,004	0,3-2,0		Mandarynki 10, pomiar w otworze okiennym, piętro 3 -DPP	0,055	0,056
E	1,0	1,55	0,003	0,004	0,3-2,0	N:52°08'38.4" E:21°03'45.4"	Mandarynki 2, pomiar w otworze okiennym, piętro 4, klatka -DPP	0,055	0,056
	1,0	1,55	0,003	0,004	0,3-2,0		Mandarynki 2, pomiar w otworze okiennym, piętro 3, klatka -DPP	0,055	0,056
F	0,9	1,40	0,002	0,004	0,3-2,0	N:52°08'36.7" E:21°03'45.3"	Lasek Brzozowy 10, pomiar w otworze okiennym, piętro 4 -DPP	0,050	0,051
	1,2	1,86	0,003	0,005	0,3-2,0		Lasek Brzozowy 10, pomiar w otworze okiennym, piętro 3 -DPP	0,067	0,068
G	1,2	1,86	0,003	0,005	0,3-2,0	N:52°08'36.0" E:21°03'49.1"	Lasek Brzozowy 6, pomiar w otworze okiennym, piętro 4 -DPP	0,067	0,068
	1,3	2,02	0,003	0,005	0,3-2,0		Lasek Brzozowy 6, pomiar w otworze okiennym, piętro 3 -DPP	0,072	0,073
H	1,2	1,86	0,003	0,005	0,3-2,0	N:52°08'35.7" E:21°03'51.4"	Lasek Brzozowy 4, pomiar w otworze okiennym, piętro 3, klatka -DPP	0,067	0,068
	1,0	1,55	0,003	0,004	0,3-2,0		Lasek Brzozowy 4, pomiar w otworze okiennym, piętro 2, klatka -DPP	0,055	0,056
I	0,9	1,40	0,002	0,004	0,3-2,0	N:52°08'35.3" E:21°03'58.7"	Sengera „Cichego” 3, pomiar w otworze okiennym, piętro 4, klatka -DPP	0,050	0,051
	0,8	1,24	0,002	0,003	0,3-2,0		Sengera „Cichego” 3, pomiar w otworze okiennym, piętro 3, klatka -DPP	0,044	0,045
J	1,0	1,55	0,003	0,004	0,3-2,0	N:52°08'36.1" E:21°03'43.5"	Lasek Brzozowy 8, pomiar w otworze okiennym, piętro 4, klatka -DPP	0,055	0,056
	0,9	1,40	0,002	0,004	0,3-2,0		Lasek Brzozowy 8, pomiar w otworze okiennym, piętro 3, klatka -DPP	0,050	0,051
K	0,9	1,40	0,002	0,004	0,3-2,0	N:52°08'36.9" E:21°03'40.8"	Lasek Brzozowy 9, pomiar w otworze okiennym, piętro 3, klatka -DPP	0,050	0,051
	1,0	1,55	0,003	0,004	0,3-2,0		Lasek Brzozowy 9, pomiar w otworze okiennym, piętro 2, klatka -DPP	0,055	0,056
L	0,8	1,24	0,002	0,003	0,3-2,0	N:52°08'35.7" E:21°03'40.7"	F. M. Lanciego 6, pomiar w otworze okiennym, piętro 4, klatka -DPP	0,044	0,045
	0,7*	1,24	0,002	0,003	0,3-2,0		F. M. Lanciego 6, pomiar w otworze okiennym, piętro 3, klatka -DPP	0,044	0,045
ł	0,8	1,24	0,002	0,003	0,3-2,0	N:52°08'36.3" E:21°03'36.9"	Lasek Brzozowy 11, pomiar w otworze okiennym, piętro 3, klatka -DPP	0,044	0,045
	0,7*	1,24	0,002	0,003	0,3-2,0		Lasek Brzozowy 11, pomiar w otworze okiennym, piętro 2, klatka -DPP	0,044	0,045
M	1,2	1,86	0,003	0,005	0,3-2,0	N:52°08'35.9" E:21°03'32.2"	F. M. Lanciego 10D, pomiar w otworze okiennym, piętro 4 -DPP	0,067	0,068
	1,3	2,02	0,003	0,005	0,3-2,0		F. M. Lanciego 10D, pomiar w otworze okiennym, piętro 3 -DPP	0,072	0,073
N	0,9	1,40	0,002	0,004	0,3-2,0	N:52°08'35.4" E:21°03'27.5"	F. M. Lanciego 7A, pomiar w otworze okiennym, piętro 2 -DPP	0,050	0,051
	0,8	1,24	0,002	0,003	0,3-2,0		F. M. Lanciego 7A, pomiar w otworze okiennym, piętro 1 -DPP	0,044	0,045
O	0,8	1,24	0,002	0,003	0,3-2,0	N:52°08'35.0" E:21°03'23.7"	F. M. Lanciego 9E/9F, pomiar przed posesją -DPP	0,044	0,045

Wynik pomiaru pole - E [V/m] - maksymalna wartość chwilowa zmierzona w danym pionie pomiarowym (uśredniona na podstawie punktu 11 załącznika do Rozporządzenia Ministra Klimatu z dnia 17 lutego 2020 r. w sprawie sposobów sprawdzania dotrzymania dopuszczalnych poziomów pól elektromagnetycznych w środowisku (Dz.U. 2022 poz. 2630)). Zgodnie z pkt. 7 załącznika do Rozporządzenia Ministra Klimatu z dnia 17 lutego 2020 r. w sprawie sposobów sprawdzania dotrzymania dopuszczalnych poziomów pól elektromagnetycznych w środowisku (Dz.U. 2022 poz. 2630) nie stosuje się poprawek pomiarowych.

Przyjęto najniższą dopuszczalną wartość składowej elektrycznej pola dla objętego pomiarami zakresu częstotliwości $\min(ME_{gr})= 28 \text{ V/m}$ oraz składowej magnetycznej $\min(MH_{gr})= 0,073 \text{ A/m}$.

* - wartość zmierzona poniżej zakresu akredytacji. Do obliczeń przyjęto wartość zgodną z dolną granicą akredytowanego zakresu pomiarowego metody.

„Bez pisemnej zgody Laboratorium niniejsze sprawozdanie nie może być powielane inaczej, jak tylko w całości. Ponadto wyniki dotyczą tylko badanych obiektów przywołanych w niniejszym sprawozdaniu z badań”

GKP - główne kierunki pomiarowe
PKP - pomocnicze kierunki pomiarowe
DPP - dodatkowe punkty pomiarowe
PP - pion pomiarowy
U - niepewność pomiarowa rozszerzona, przy poziomie ufności 95%, z uwzględnieniem współczynnika rozszerzenia $k=2$
 WM_E - wartość wskaźnikowa poziomu emisji pól elektromagnetycznych dla miejsc dostępnych dla ludności dla składowej elektrycznej pola
 WM_H - wartość wskaźnikowa poziomu emisji pól elektromagnetycznych dla miejsc dostępnych dla ludności dla składowej magnetycznej pola

7. Stwierdzenie zgodności

Na podstawie wytycznych podanych w Rozporządzeniu Ministra Zdrowia z dnia 17 grudnia 2019 r. w sprawie dopuszczalnych poziomów pól elektromagnetycznych w środowisku (Dz.U. 2019 poz. 2448) oraz sposobów sprawdzania dotrzymania tych poziomów zgodnie z Rozporządzeniem Ministra Klimatu z dnia 17 lutego 2020 r. w sprawie sposobów sprawdzania dotrzymania dopuszczalnych poziomów pól elektromagnetycznych w środowisku (Dz.U. 2022 poz. 2630), dotyczących źródła wymagań, które muszą być spełnione, w oparciu o zasadę podejmowania decyzji zgodną z pkt. 26 Rozporządzenia Ministra Klimatu z dnia 17 lutego 2020 r. (Dz.U. 2022 poz. 2630), na podstawie wyników pomiarów pól elektromagnetycznych wykonanych w dniu 06.10.2023 stwierdzono, że wszystkie wyniki przeprowadzonych pomiarów w danym obszarze pomiarowym oraz wyznaczone na tej podstawie wskaźniki WME oraz WMH są mniejsze od wartości dopuszczalnych – zgodnie z przepisami wydanymi na podstawie art. 122 ust. 1 ustawy z dnia 27 kwietnia 2001 r. – Prawo ochrony środowiska – załącznikiem do Rozporządzenia Ministra Klimatu i Środowiska z dnia 17 lutego 2020 r. w sprawie sposobów sprawdzania dotrzymania dopuszczalnych poziomów pól elektromagnetycznych w środowisku (Dz.U. 2022 poz. 2630, pkt 26).

8. Oświadczenie.

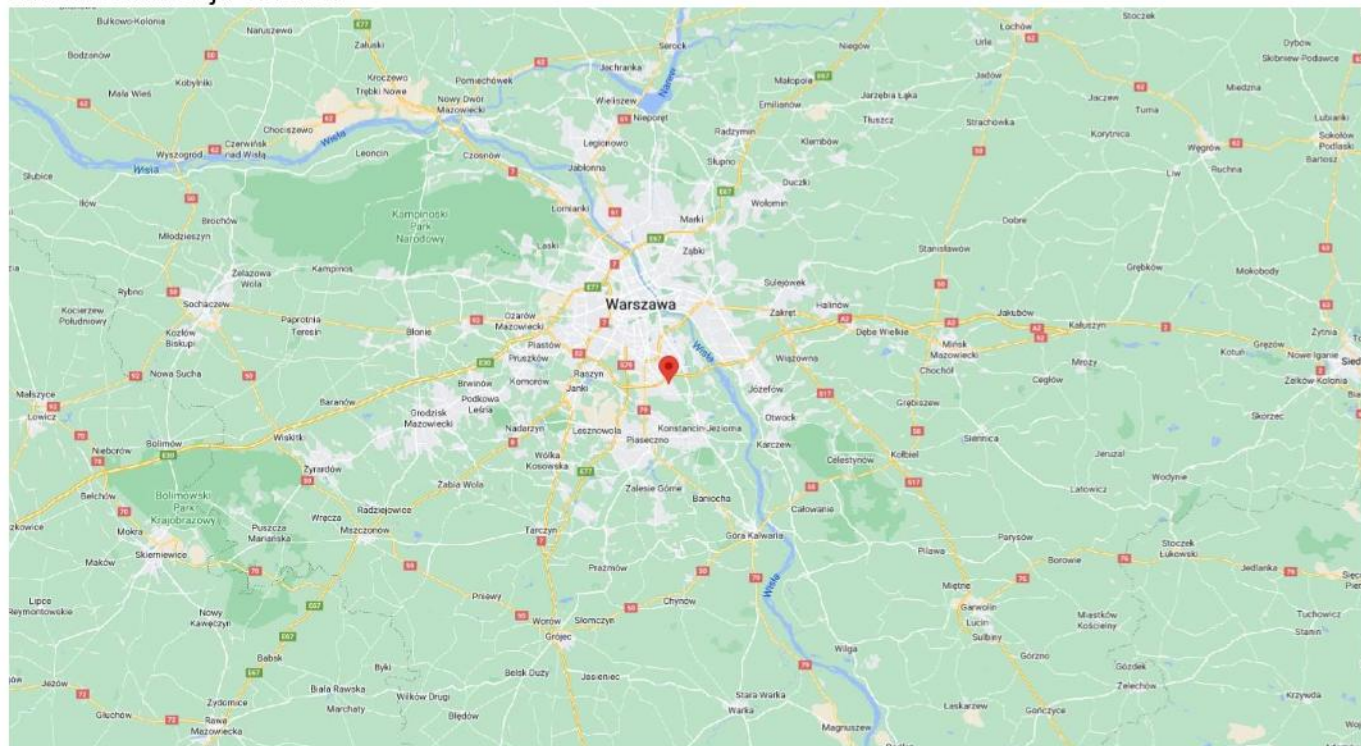
Wyniki badania odnoszą się wyłącznie do badanego obiektu.
Bez pisemnej zgody sprawozdanie nie może być powielane inaczej, jak tylko w całości.
Uwagi i zastrzeżenia przyjmowane są w formie pisemnej.

9. Spis załączników.

Załącznik 1. Lokalizacja obiektu.
Załącznik 2. Widok pionów pomiarowych
Załącznik 3. Załączniki graficzne

Koniec sprawozdania

Zał. 1. Lokalizacja obiektu





Współrzędne geograficzne	
długość:	21°03'42.66"E
szerokość:	52°08'36.73"N

Załącznik 2. Widok pionów pomiarowych



LEGENDA:

-  inna instalacja telekomunikacyjna
-  instalacja telekomunikacyjna dla której wykonywano pomiar

 brak dostępu

 pion pomiaru

 antena sektorowa

 antena radiolowa

Skala: 1:5400



Załącznik 3. Załączniki graficzne.

